

AVALIAÇÃO DA VENTILAÇÃO NATURAL E DA QUALIDADE DO AR INTERIOR EM SALAS DE AULA DURANTE A PANDEMIA DE COVID-19

Palavras-Chave: VENTILAÇÃO NATURAL, SALA DE AULA, COVID-19

Autores/as:

VINICIUS LIMA OLIVEIRA [UNICAMP]

Prof./a Dr./a LETICIA DE OLIVEIRA NEVES (orientador/a) [UNICAMP]

INTRODUÇÃO:

As crianças passam a maior parte do seu tempo em ambientes internos, como na sala de aula, e são mais vulneráveis e suscetíveis a poluentes ambientais do que os adultos, pois respiram maior volume de ar em relação aos seus pesos corporais (FAKHOURY, 2017). Alunos e professores são expostos a concentrações constantes de poluentes provenientes do próprio ambiente, devido às ações e liberação de CO₂ pelos ocupantes, aos materiais e ao mobiliário do edifício, que liberam substâncias tóxicas, e agentes biológicos (FERREIRA, 2014). Assim, os efeitos da má qualidade interna das salas de aula podem ter consequências imediatas e a longo prazo, tanto para os alunos, como para a sociedade (FAKHOURY, 2017).

É notável a grande quantidade de estudos sobre o impacto do comportamento do usuário nas edificações voltados para edifícios residenciais e comerciais (O'BRIEN et al., 2020; WAGNER; O'BRIEN, 2018; YAN et al., 2017), faltando estudos focados em edificações escolares (FRANCESCHINI; NEVES, 2020).

No Brasil, a maioria das escolas, principalmente as públicas, possuem salas de aula naturalmente ventiladas, sendo que a ventilação é inadequada na metade das redes estaduais e municipais do país, sendo que as escolas das regiões Norte e Nordeste encontram-se em situação mais desfavorável, considerando a avaliação dos docentes (SALDAÑA; YUKARI, 2021). No estado de São Paulo, apenas 54,6% das escolas apresentam ventilação adequada (SALDAÑA; YUKARI, 2021). Sem investimento em infraestrutura e com número elevado de alunos por turma, muitas escolas apresentam janelas fixas, que não abrem ou não permitem a abertura completa (SALDAÑA; YUKARI, 2021). Assim, o estudo sobre a qualidade do ar e a ventilação natural em salas de aula de edificações escolares no cenário da pandemia de COVID-19 têm o objetivo de trazer informações sobre a operação de janelas e ventiladores para auxiliar na nova realidade e no cotidiano com mais segurança para os alunos e professores.

METODOLOGIA:

Esta é uma pesquisa descritiva baseada em um estudo de caso. Desenvolveu-se em três etapas principais detalhadas a seguir.

Revisão Bibliográfica:

Foi realizada a busca de literaturas que tratassem sobre qualidade do ar interior, ventilação natural e operação de janelas em salas de aula e a disseminação do vírus SARS-CoV-2 em ambientes fechados. Nos resultados, destacam-se estudos internacionais (ALONSO et al., 2021; ASCIONE et al., 2021), que, em comparação com o cenário nacional, possuem climas semelhantes, mas arquitetura escolar com diferenças significativas. No contexto nacional, foram selecionadas pesquisas que utilizaram simulações computacionais para a análise do conforto e do desempenho térmico em escolas (RACKES et al., 2015) e para a análise da qualidade do ar interior em escolas durante a pandemia de COVID-19 (FRANCESCHINI; LIGUORI; NEVES, 2021).

Simulação Computacional:

A Escola Estadual Professora Adriana Cardoso (Vila Esperança), de ensino fundamental I e II, construída e administrada pela Fundação para o Desenvolvimento da Educação (FDE) do estado de São Paulo e localizada na cidade de Campinas, foi selecionada como estudo de caso. A escola possui dez salas de aula, distribuídas em dois pavimentos e com dimensões padrão da FDE (Figura 1).

Para a realização de simulações computacionais, as salas de aula, desenvolvidas como zonas térmicas, corredores, elementos de sombreamento e o entorno imediato da escola foram modeladas no software SketchUp através do *plug-in* Euclid (Figura 2). Após a modelagem, a volumetria com entorno foi enviada no site CpSimulator para a obtenção de coeficiente de pressão (BRE; GIMENEZ, 2022).

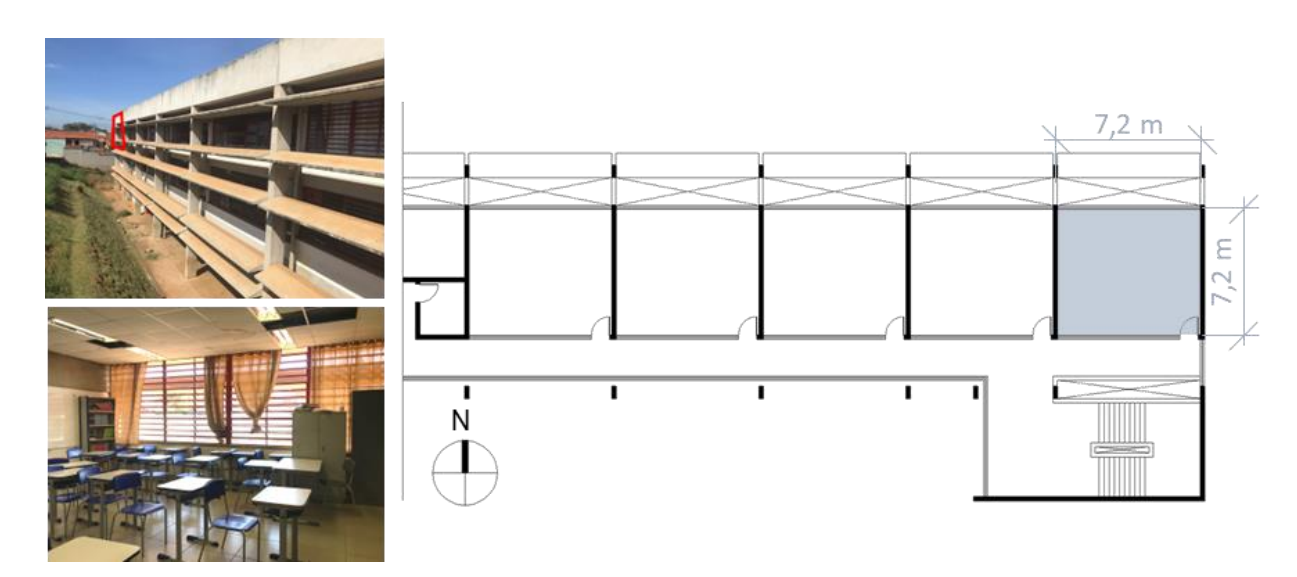


Figura 1: Fachada (à esquerda e acima), sala de aula (à esquerda e abaixo) e seção da planta do pavimento superior (à direita) da escola selecionada para estudo de caso, com destaque para a sala de aula analisada (em azul). Fonte: Paula Brumer Franceschini Kagan.

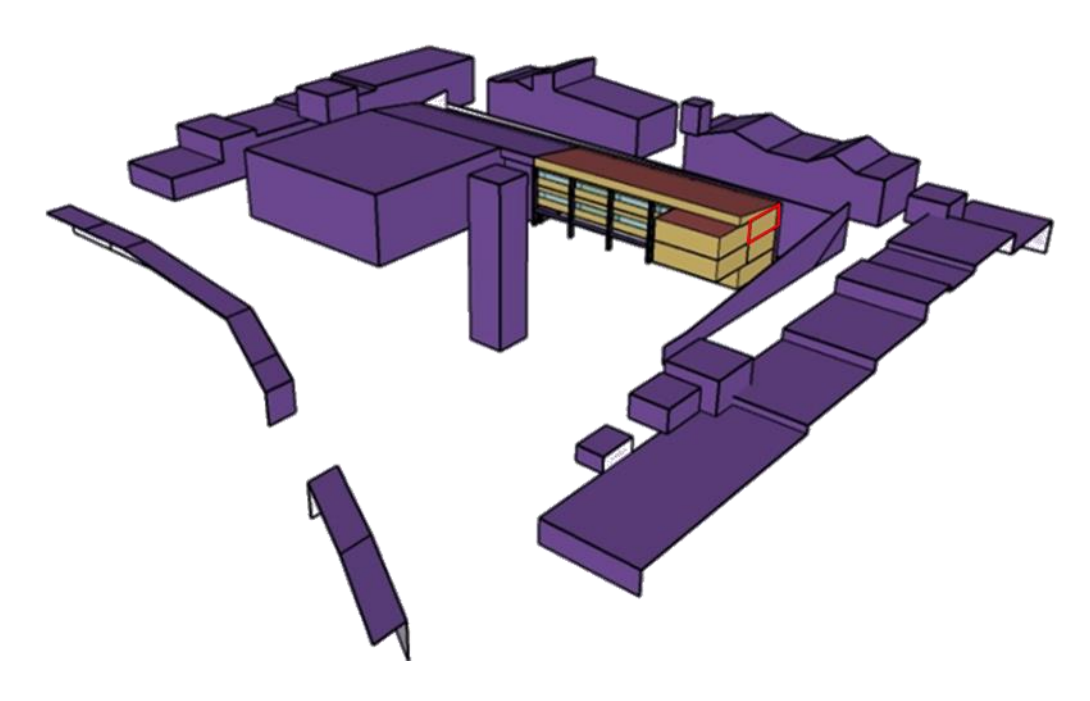


Figura 2: Geometria do modelo, com destaque para a sala de aula analisada (em vermelho). Fonte: os autores.

Com a geometria finalizada, o modelo foi calibrado no software EnergyPlus versão 9.4, que teve como dados de entrada para as simulações as propriedades térmicas dos componentes construtivos (Tabela 1) e as características das esquadrias (Tabela 2), levantadas com base na leitura do projeto arquitetônico da escola e em observações *in loco*, realizadas por Paula Brumer Franceschini Kagan, doutoranda do programa de pós-graduação em Arquitetura, Tecnologia e Cidade da FEC-UNICAMP, intitulada Assessing the impact of occupant behaviour on the energy performance of AQUA-certified school buildings (processo FAPESP 2019/13474-7), orientada pela profa. Dra. Leticia de Oliveira Neves.

O modelo Kusuda e Achenbach de temperatura do solo não perturbado foi utilizado para simular as trocas de calor pelo solo (ELI *et al.*, 2019) e o módulo *AirFlow Network* foi utilizado para simular o sistema de ventilação natural, utilizando como coeficiente de descarga o valor de 0,6 (FLOURENTZOU; VAN DER MAAS; ROULET, 1998).

Tabela 1: Propriedades térmicas dos componentes construtivos.

Componente	Descrição	Transmitância térmica - U (W/m². K)		Absortância solar da sup. externa - α	
Parede externa	Bloco de concreto 190x190x390 mm	2,8	202,2	0,19	-
Janela	Vidro incolor 3 mm	5,4	-	-	0,87
Laje	Laje de concreto 150 mm + argamassa de assentamento + piso cerâmico	2,7	243	-	-
Cobertura	Telha cerâmica	1,1	164,2	0,25	-

Tabela 2: Características das esquadrias.

Item	Descrição	Área útil de abertura para ventilação
Porta	Porta de giro – 90 cm x 210 cm	1,0
Janela fachada	Janela com 20 folhas pivotantes e 8 fixas – 180 cm x 210 cm / peitoril 80 cm (4 unidades)	0,4
Janela circulação	Janela com 4 folhas pivotantes – 180 cm x 80 cm / peitoril 220 cm (4 unidades)	0,6

O modelo foi calibrado utilizando dados medidos na sala de aula selecionada durante o período de 15 a 23 de fevereiro de 2022. As variáveis climáticas internas monitoradas incluíram: temperatura do ar, temperatura de globo, concentração de CO2 e umidade relativa do ar. A temperatura radiante média e a temperatura operativa interna foram calculadas utilizando os dados de temperatura do ar e temperatura de globo, de acordo com a ASHRAE 55 (ASHRAE, 2020). As variáveis climáticas externas do mesmo período de medição foram obtidas do Centro de Pesquisas Meteorológicas e Climáticas Aplicadas à Agricultura (CEPAGRI) da Unicamp.

Para minimizar as incertezas, foram utilizados os dados coletados no período noturno durante o período, por não terem influência da radiação solar e das cargas térmicas internas. Com isso, o erro médio absoluto (*Mean Absolute Error* – MAE) foi utilizado para avaliar a precisão do modelo com intenção de selecionar o modelo com valores de temperatura operativa interna mais próximos dos dados medidos.

Após a calibração do modelo físico da escola, as condições internas durante o dia foram calibradas inserindo os padrões de ocupação obtidos a partir dos dados monitorados (período de ocupação, número de ocupantes, *status* da porta e das janelas, cargas internas de iluminação e equipamentos). O MAE foi calculado novamente e junto com o erro médio normalizado (*Normalised Mean Bias Error* – NMBE) e o coeficiente de variação da raiz quadrada do erro médio (*Coefficient of Variance of Root Mean Square Error* – CV(RMSE)) foram usados para avaliar a precisão da calibração do modelo.

A partir da calibração do modelo, a avaliação de ventilação natural e qualidade do ar da sala de aula será realizado por meio da simulação de três cenários: o primeiro (Cenário 1) considerando a operação de janelas e porta da medição (i.e., comportamento do usuário real); o segundo (Cenário 2) mantendo as janelas e portas sempre abertas, inclusive no período noturno (i.e., sem a influência do usuário) e o terceiro (Cenário 3) mantendo janelas e portas sempre abertas, com exceção do período noturno (i.e., sem a influência do usuário).

Análise dos Resultados:

Os resultantes das simulações serão analisados em termos de média e desvio padrão dos valores de taxas de renovação de ar, levando em consideração apenas o período de ocupação da sala de aula (dias da semana das 7 h às 16 h). Os valores serão comparados com os valores de referência das literaturas publicadas durante a pandemia de Covid-19, com o propósito de avaliar se a ventilação e a qualidade do ar interior atendem às necessidades trazidas pela pandemia.

BIBLIOGRAFIA

ALONSO, A. et al. Effects of the covid-19 pandemic on indoor air quality and thermal comfort of primary schools in winter in a mediterranean climate. **Sustainability (Switzerland)**, v. 13, n. 5, p. 1–17, 1 mar. 2021.

ASCIONE, F. et al. The design of safe classrooms of educational buildings for facing contagions and transmission of diseases: A novel approach combining audits, calibrated energy models, building performance (BPS) and computational fluid dynamic (CFD) simulations. **Energy and Buildings**, v. 230, 1 jan. 2021.

ASHRAE. **Standard 55: Thermal environmental conditions for human occupancy.** ANSI/ ASHRAE Standards Committee, 2020.

BRE, F.; GIMENEZ, J. M. A cloud-based platform to predict wind pressure coefficients on buildings. **Building Simulation**, v. 15, n. 8, p. 1507-1525, 2022.

ELI, L. G. et al. Manual de simulação computacional de edifícios com o uso do objeto Ground Domain no programa EnergyPlus. Laboratório de Eficiência Energética em Edificações (LABEE), Florianópolis, 2019.

FAKHOURY, N. A. Estudo da qualidade do ar interior em ambientes educacionais. 2017.

FERREIRA, A. M. DA C. Qualidade do Ar Interior em Escolas e Saúde das Crianças. p. 1-393, 2014.

FRANCESCHINI, P. B.; LIGUORI, I. N.; NEVES, L. O. Avaliação da qualidade do ar interior durante a pandemia de covid-19 em salas de aula naturalmente ventiladas. [s.l: s.n.].

FLOURENTZOU, F.; VAN DER MAAS, J.; ROULET, C. A. Natural ventilation for passive cooling: measurement of discharge coefficients. **Energy and Buildings**, v. 27, n. 3, p. 283–292, 1998. Disponível em: https://doi.org/10.1016/S0378-7788(97)00043-1

FRANCESCHINI, P; NEVES, L. O impacto da operação de janelas no desempenho térmico de edificações escolares. In: **XVIII Encontro Nacional de Tecnologia do Ambiente Construído**, 2020. Anais do XVIII Encontro Nacional de Tecnologia do Ambiente Construído - ENTAC 2020, 2020.

O'BRIEN, W. et al. Introducing IEA EBC annex 79: Key challenges and opportunities in the field of occupant-centric building design and operation. **Building and Environment**, v. 178, n. February, p. 106738, 2020.

RACKES, A. et al. Avaliação do potencial de conforto térmico em escolas naturalmente ventiladas. [s.l: s.n.].

SALDAÑA, P; YUKARI, D. Ventilação de salas de aula é inadequada em mais da metade das escolas públicas. **Folha de São Paulo.** São Paulo, 21 de mar. de 2021. Disponível em: https://www1.folha.uol.com.br/educacao/2021/03/ventilacao-de-salas-e-inadequada-em-mais-da-

metade-das-escolas-publicas.shtml>. Acesso em: 14 de abr. de 2021.

WAGNER, A.; O'BRIEN, L. EBC Annex 79: Proposal:Occupant behaviour-centric building design and operation. **lea Ebc**, n. October, 2018.

YAN, D. et al. IEA EBC Annex 66: Definition and simulation of occupant behavior in buildings. **Energy and Buildings**, v. 156, p. 258–270, 2017.